



LANDESSTELLE FÜR BAUTECHNIK

Braustraße 2, 04107 Leipzig
Telefon: (0341) 977 3710
Telefax: (0341) 977 1199

GZ: L37-2533/16/9

Bearbeiter: Herr Dipl.-Ing. Christian Kutzer

Prüfbericht (Typenprüfung)

Prüfbericht Nr.: T22-029

vom: 16.03.2022

Gegenstand: Stahltrapezprofil der Firmenbezeichnung:
M 206.1/375 und M 206.1/375 A

Antragsteller: Münker Metallprofile GmbH
Gewerbeparkstraße 19
51580 Reichshof - Wehnrath

Planer: Weihermüller & Vogel GmbH
Alexandrastraße 3
65187 Wiesbaden

Hersteller: wie Antragsteller

Geltungsdauer bis: 31.03.2027



Dieser Prüfbericht umfasst 3 Seiten und 6 Anlagen, die Bestandteil dieses Prüfberichtes sind.



1. Allgemeine Bestimmungen

- 1.1. Die typengeprüften Bauvorlagen können anstelle von im Einzelfall zu prüfenden Nachweisen der Standsicherheit dem Bauantrag beigelegt werden.
- 1.2. Die Typenprüfung befreit nicht von der Verpflichtung, für jedes Bauvorhaben eine Genehmigung einzuholen, soweit gesetzliche Bestimmungen hiervon nicht befreien.
- 1.3. Die Ausführungen haben sich streng an die geprüften Pläne und an die Bestimmungen dieses Prüfberichtes zu halten. Abweichungen hiervon sind nur zulässig, wenn sie die Zustimmung im Zuge einer Einzelprüfung gefunden haben.
- 1.4. Die typengeprüften Unterlagen dürfen nur vollständig mit dem Prüfbericht und den dazugehörigen Anlagen verwendet oder veröffentlicht werden. In Zweifelsfällen sind die bei der Landesstelle für Bautechnik befindlichen geprüften Unterlagen maßgebend.
- 1.5. Die Geltungsdauer dieser Typenprüfung kann auf Antrag jeweils um bis zu fünf Jahren verlängert werden. Der nächste Sichtvermerk durch die Landesstelle für Bautechnik ist dann spätestens am **31.03.2027** erforderlich.
- 1.6. Der Prüfbericht kann in begründeten Fällen, wie z. B. Änderungen Technischer Baubestimmungen oder wenn neue technische Erkenntnisse dies erfordern, entschädigungslos geändert oder zurückgezogen werden.
- 1.7. Die baustatische Typenprüfung gilt unbeschadet der Rechte Dritter.
- 1.8. Die Typenprüfung berücksichtigt den derzeitigen Stand der Erkenntnisse. Eine Aussage über die Bewährung des Gegenstandes dieser Typenprüfung ist damit nicht verbunden.

2. Konstruktionsbeschreibung

Stahltrapezprofile der Firmenbezeichnung M 206.1/375 und M 206.1/375 A aus Flacherzeugnissen gemäß DIN EN 10346 Tabelle 8. Die rechnerische Blechkerndicke beträgt $t_N - 0,04$ mm.

3. Zutreffende Technischen Baubestimmungen

DIN EN 1993-1-1; Eurocode 3: Bemessung und Konstruktion von Stahlbauten - Teil 1-1: Allgemeine Bemessungsregeln und Regeln für den Hochbau

DIN EN 1993-1-3; Eurocode 3: Bemessung und Konstruktion von Stahlbauten - Teil 1-3: Allgemeine Regeln - Ergänzende Regeln für kaltgeformte Bauteile und Bleche

DIN EN 1993-1-5; Eurocode 3: Bemessung und Konstruktion von Stahlbauten - Teil 1-5: Plattenförmige Bauteile



4. Geprüfte Unterlagen

Formblätter (Typenblätter) zu den Profilen gemäß Tabelle:

Anlage Nr.:	Profil:	$f_{y,k}$ [N/mm ²]	Blehdicken [mm]
1.1, 1.2, 1.3, 1.4	M 206.1/375	320	0,75 bis 1,50
2.1, 2.2	M 206.1/375 A	320	0,75 bis 1,50

5. Prüfergebnis

- 5.1. Die unter Ziffer 4 aufgeführten Unterlagen wurden in baustatischer Hinsicht geprüft.
- 5.2. Sonstige bauordnungsrechtliche oder andere behördliche Anforderungen waren nicht Gegenstand der Prüfung.
- 5.3. Der Gegenstand der Typenprüfung entspricht den unter Ziffer 3 aufgeführten Technischen Baubestimmungen.
- 5.4. Die Werte in den Formblättern gelten, wenn für die Blehdicken die Minustoleranzen nach DIN EN 10143:2006, Tabelle 2 „Eingeschränkte Grenzabmaße (S)“ eingehalten werden.
- 5.5. Unter Beachtung dieses Prüfberichtes und den Vorgaben nach den geprüften Unterlagen bestehen gegen eine Ausführung und Anwendung der Trapezprofile in den vorgegebenen Grenzen aus baustatischer Sicht keine Bedenken.

6. Rechtsgrundlagen

Die Landesdirektion Sachsen - Landesstelle für Bautechnik - ist gemäß § 32 DVO-SächsBO¹ Prüfamt zur Typenprüfung; zur Typenprüfung von Standsicherheitsnachweisen siehe die jeweilige Landesbauordnung und § 66 Abs. 4 Satz 3 der MBO².

Leiter

Dr.-Ing. H.-A. Biegholdt



Anlagen: Siehe Tabelle unter Ziffer 4

¹ DVOSächsBO vom 02.09.2004 (SächsGVBl. S. 427), in der zum Zeitpunkt der Erstellung dieses Prüfberichtes geltenden Fassung

² Musterbauordnung, Fassung 2002, in der zum Zeitpunkt der Erstellung dieses Prüfberichtes geltenden Fassung

Stahltrapezprofil Typ

M 206.1/375

Querschnitts- und Bemessungswerte

EN 1993-1-3

Anlage 1.1

Als Typenentwurf

in bautechnischer Hinsicht geprüft

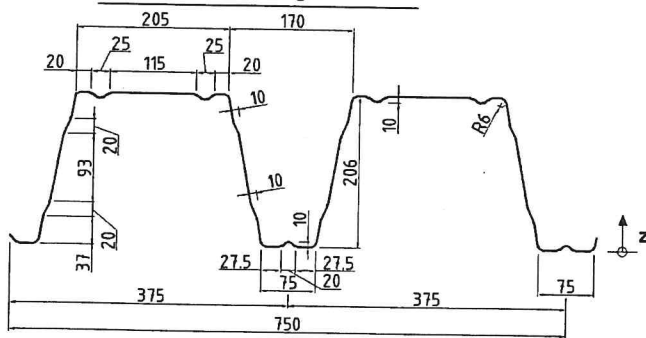
Prüfbescheid-Nr. T22-029

Landesdirektion Sachsen

- Landesstelle für Bautechnik -

Leipzig, den 16.03.2022

Profiltafel in Positivlage



Nennstreckgrenze des Stahlkerns $f_{y,k} = 320 \text{ N/mm}^2$

Charakteristische Tragfähigkeitswerte für andrückende Flächenbelastung ³⁾

Nennblechdicke ¹²⁾	Feldmoment	Endauflagerkraft ⁶⁾		Elastisch aufnehmbare Schnittgrößen an Zwischenauflagern ^{1) 2) 4) 5)}															
				Quer- kraft	Quadratische Interaktion						Zwischenauflagerkräfte ¹¹⁾								
					Stützmomente ¹¹⁾			Zwischenauflagerkräfte ¹¹⁾											
					$l_{a,B} = 10 \text{ mm}$	$l_{a,B} = 60 \text{ mm}$	$l_{a,B} = 200 \text{ mm}$	$l_{a,B} = 10 \text{ mm}$	$l_{a,B} = 60 \text{ mm}$	$l_{a,B} = 200 \text{ mm}$	$l_{a,B} = 10 \text{ mm}$	$l_{a,B} = 60 \text{ mm}$	$l_{a,B} = 200 \text{ mm}$						
t_N	$M_{c,Rk,F}$	$R_{w,Rk,A}$	$V_{w,Rk}$	$M_{0,Rk,B}$	$M_{c,Rk,B}$	$M_{0,Rk,B}$	$M_{c,Rk,B}$	$M_{0,Rk,B}$	$M_{c,Rk,B}$	$M_{0,Rk,B}$	$M_{c,Rk,B}$	$R_{0,Rk,B}$	$R_{w,Rk,B}$	$R_{0,Rk,B}$	$R_{w,Rk,B}$	$R_{0,Rk,B}$	$R_{w,Rk,B}$		
mm	kNm/m	kN/m		kNm/m												kN/m			
0,75	18,86	7,64	-	20,01	-	-	12,81	8,55	23,49	11,93	-	-	16,95	13,90	20,97	18,34			
0,88	24,16	11,00	-	32,05	-	-	18,29	12,51	29,12	16,59	-	-	24,71	20,19	29,14	25,05			
1,00	29,06	14,07	-	46,66	-	-	23,36	16,17	34,32	20,90	-	-	31,88	25,99	36,67	31,25			
1,13	32,78	19,05	-	66,76	-	-	29,03	21,15	43,16	27,74	-	-	41,72	33,65	47,77	40,47			
1,25	36,22	23,47	-	89,68	-	-	34,27	25,74	51,32	34,05	-	-	50,80	40,72	58,02	48,99			
1,50	43,70	28,31	-	152,72	-	-	41,36	31,06	61,92	41,09	-	-	61,30	49,14	70,01	59,11			

Reststützmomente ⁷⁾

t_N	$l_{a,B} = 10 \text{ mm}$			$l_{a,B} = 60 \text{ mm}$			$l_{a,B} = 200 \text{ mm}$			Reststützmomente $M_{R,Rk}$
	min L	max L	max $M_{R,Rk}$	min L	max L	max $M_{R,Rk}$	min L	max L	max $M_{R,Rk}$	
mm	m			m			m			
0,75	-	-	-	15,33	16,70	3,04	14,03	15,41	3,32	$M_{R,Rk} = 0$ für $L \leq \min L$ $M_{R,Rk} = \max M_{R,Rk}$ für $L \geq \max L$ $M_{R,Rk} = \frac{L - \min L}{\max L - \min L} * \max M_{R,Rk}$
0,88	-	-	-	14,72	16,10	4,09	13,18	14,57	4,61	
1,00	-	-	-	14,15	15,54	5,07	12,39	13,80	5,80	
1,13	-	-	-	12,79	14,20	6,47	11,14	12,57	7,45	
1,25	-	-	-	11,54	12,96	7,77	9,98	11,44	8,98	
1,50	-	-	-	11,54	12,96	9,37	9,98	11,44	10,84	

Charakteristische Tragfähigkeitswerte für abhebende Flächenbelastung ^{1) 2)}

Nennblechdicke	Feldmoment	Befestigung in jedem anliegenden Gurt						Befestigung in jedem 2. anliegenden Gurt					
		Endauflagerkraft	Zwischenauflager				Endauflagerkraft	Zwischenauflager					
			$M_{0,Rk,B}$	$M_{c,Rk,B}$	$R_{0,Rk,B}$	$R_{w,Rk,B}$		$V_{w,Rk}$	$R_{0,Rk,B}$	$R_{w,Rk,B}$	$V_{w,Rk}$		
t_N	$M_{c,Rk,F}$	$R_{w,Rk,A}$	$M_{0,Rk,B}$	$M_{c,Rk,B}$	$R_{0,Rk,B}$	$R_{w,Rk,B}$	$V_{w,Rk}$	$R_{w,Rk,A}$	$M_{0,Rk,B}$	$M_{c,Rk,B}$	$R_{0,Rk,B}$	$R_{w,Rk,B}$	$V_{w,Rk}$
mm	kNm/m	kN/m	kNm/m				kN/m	kNm/m				kN/m	
0,75	18,35	20,01	-	18,29	-	-	20,01	10,01	-	9,14	-	-	10,01
0,88	22,58	32,05	-	22,70	-	-	32,05	16,03	-	11,35	-	-	16,03
1,00	26,42	46,66	-	26,86	-	-	46,66	23,33	-	13,43	-	-	23,33
1,13	30,56	66,76	-	31,50	-	-	66,76	33,38	-	15,75	-	-	33,38
1,25	34,26	89,68	-	36,75	-	-	89,68	44,84	-	18,37	-	-	44,84
1,50	42,00	152,72	-	46,41	-	-	152,72	76,36	-	23,21	-	-	76,36

Fußnoten s. Beiblatt 1/2 bzw. 2/2

Stahltrapezprofil Typ **M 206.1/375**

Querschnitts- und Bemessungswerte

EN 1993-1-3

Anlage 1.3

Als Typenentwurf

in bautechnischer Hinsicht geprüft

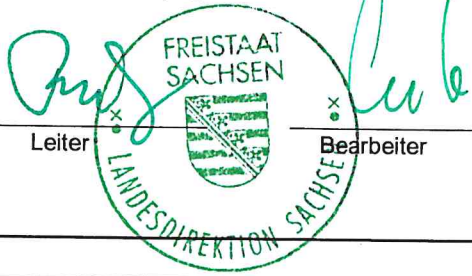
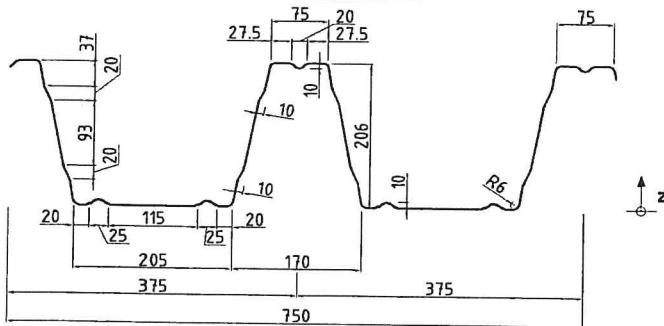
Prüfbescheid-Nr. **T22-029**

Landesdirektion Sachsen

- Landesstelle für Bautechnik -

Leipzig, den 16.03.2022

Profiltafel in **Negativlage**



Leiter

Bearbeiter

Nennstreckgrenze des Stahlkerns $f_{y,k} = 320 \text{ N/mm}^2$

Charakteristische Tragfähigkeitswerte für andrückende Flächenbelastung ³⁾

Nennblechdicke ¹²⁾	Feldmoment	Endauflagerkraft ⁶⁾		Elastisch aufnehmbare Schnittgrößen an Zwischenauflagern ^{1) 2) 4) 5)}												
				Quer- kraft	Lineare Interaktion						Zwischenauflegerkräfte ¹¹⁾					
					Stützmomente ¹¹⁾			Zwischenauflegerkräfte ¹¹⁾			Stützmomente ¹¹⁾			Zwischenauflegerkräfte ¹¹⁾		
					$l_{a,B} = 10 \text{ mm}$	$l_{a,B} = 60 \text{ mm}$	$l_{a,B} = 200 \text{ mm}$	$l_{a,B} = 10 \text{ mm}$	$l_{a,B} = 60 \text{ mm}$	$l_{a,B} = 200 \text{ mm}$	$l_{a,B} = 10 \text{ mm}$	$l_{a,B} = 60 \text{ mm}$	$l_{a,B} = 200 \text{ mm}$			
t_N	$M_{c,Rk,F}$	$R_{w,Rk,A}$	$V_{w,Rk}$	$M_{0,Rk,B}$	$M_{c,Rk,B}$	$M_{0,Rk,B}$	$M_{c,Rk,B}$	$M_{0,Rk,B}$	$M_{c,Rk,B}$	$R_{0,Rk,B}$	$R_{w,Rk,B}$	$R_{0,Rk,B}$	$R_{w,Rk,B}$	$R_{0,Rk,B}$	$R_{w,Rk,B}$	
mm	kNm/m	kN/m		kN/m												
0,75	18,22	-	7,43	20,01	22,86	18,29	22,86	18,29	22,86	18,29	9,15	7,32	15,97	12,78	25,50	20,40
0,88	22,60	-	10,15	32,05	28,38	22,70	28,38	22,70	28,38	22,70	12,76	10,21	21,90	17,52	34,65	27,72
1,00	26,49	-	13,01	46,66	33,58	26,86	33,58	26,86	33,58	26,86	16,64	13,31	28,14	22,51	44,20	35,36
1,13	30,57	-	16,48	66,76	39,38	31,50	39,38	31,50	39,38	31,50	21,43	17,15	35,77	28,61	55,77	44,61
1,25	35,15	-	20,06	89,68	45,93	36,75	45,93	36,75	45,93	36,75	26,43	21,14	43,61	34,89	67,59	54,07
1,50	42,91	-	28,66	152,72	58,02	46,41	58,02	46,41	58,02	46,41	38,71	30,97	62,58	50,06	95,88	76,70

Reststützmomente ⁷⁾

t_N	$l_{a,B} = 10 \text{ mm}$			$l_{a,B} = 60 \text{ mm}$			$l_{a,B} = 200 \text{ mm}$			Reststützmomente $M_{R,Rk}$
	min L	max L	max $M_{R,Rk}$	min L	max L	max $M_{R,Rk}$	min L	max L	max $M_{R,Rk}$	
	mm	m	kNm/m	m	kNm/m	m	kNm/m	m	kNm/m	
0,75	-	-	-	-	-	-	-	-	-	$M_{R,Rk} = 0$ für $L \leq \min L$ $M_{R,Rk} = \max M_{R,Rk}$ für $L \geq \max L$ $M_{R,Rk} = \frac{L - \min L}{\max L - \min L} \cdot \max M_{R,Rk}$
0,88	-	-	-	-	-	-	-	-		
1,00	-	-	-	-	-	-	-	-		
1,13	-	-	-	-	-	-	-	-		
1,25	-	-	-	-	-	-	-	-		
1,50	-	-	-	-	-	-	-	-		

Charakteristische Tragfähigkeitswerte für abhebende Flächenbelastung ^{1) 2)}

Nennblechdicke	Feldmoment	Befestigung in jedem anliegenden Gurt							Befestigung in jedem 2. anliegenden Gurt					
		Endauflagerkraft	Zwischenaufleger					Endauflagerkraft	Zwischenaufleger					
			$M_{0,Rk,B}$	$M_{c,Rk,B}$	$R_{0,Rk,B}$	$R_{w,Rk,B}$	$V_{w,Rk}$		$R_{w,Rk,A}$	$M_{0,Rk,B}$	$M_{c,Rk,B}$	$R_{0,Rk,B}$	$R_{w,Rk,B}$	$V_{w,Rk}$
t_N	$M_{c,Rk,F}$	$R_{w,Rk,A}$	kN/m					$R_{w,Rk,A}$	kN/m					
mm	kNm/m	kN/m	kN/m					kN/m	kN/m					
0,75	18,29	20,01	-	18,22	-	-	20,01	10,01	-	9,11	-	-	10,01	
0,88	22,70	32,05	-	22,60	-	-	32,05	16,03	-	11,30	-	-	16,03	
1,00	26,86	46,66	-	26,49	-	-	46,66	23,33	-	13,24	-	-	23,33	
1,13	31,50	66,76	-	30,57	-	-	66,76	33,38	-	15,28	-	-	33,38	
1,25	36,75	89,68	-	35,15	-	-	89,68	44,84	-	17,58	-	-	44,84	
1,50	46,41	152,72	-	42,91	-	-	152,72	76,36	-	21,46	-	-	76,36	

Fußnoten s. Beiblatt 1/2 bzw. 2/2

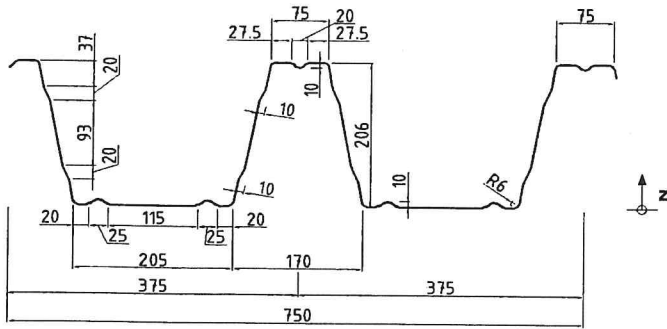
Stahltrapezprofil Typ

M 206.1/375

Querschnitts- und Bemessungswerte

EN 1993-1-3

Profiltafel in **Negativlage**



Anlage 1.4

Als Typenentwurf

in bautechnischer Hinsicht geprüft

Prüfbescheid-Nr. T22-029

Landesdirektion Sachsen

- Landesstelle für Bautechnik -

Leipzig, den 16.03.2022



Nennstreckgrenze des Stahlkerns $f_{y,k} = 320 \text{ N/mm}^2$

Maßgebende Querschnittswerte

Nennblechdicke	Eigenlast	Biegung ⁸⁾		Normalkraftbeanspruchung						Grenzstützweiten ¹⁰⁾	
				nicht reduzierter Querschnitt			wirksamer Querschnitt ⁹⁾			L _{gr} in m	
				I_{ef}^*	I_{ef}	A_g	i_g	z_g	A_{eff}	i_{eff}	z_{eff}
mm	kN/m ²	cm ⁴ /m		cm ² /m	cm		cm ² /m	cm			
0,75	0,118	794,47	699,03	13,71	7,69	8,41	4,62	8,76	9,63	9,24	> 10,00
0,88	0,138	944,89	839,39	16,22	7,69	8,41	6,12	8,69	9,64	> 10,00	> 10,00
1,00	0,157	1085,12	971,68	18,53	7,69	8,41	7,60	8,61	9,57	> 10,00	> 10,00
1,13	0,177	1234,23	1117,73	21,04	7,69	8,41	9,31	8,54	9,53	> 10,00	> 10,00
1,25	0,196	1410,09	1294,50	23,62	7,73	8,41	11,06	8,52	9,53	> 10,00	> 10,00
1,50	0,236	1701,43	1595,81	28,50	7,73	8,41	14,99	8,39	9,37	> 10,00	> 10,00

Schubfeldwerte

Nennblechdicke	Grenzzustand der Tragfähigkeit ¹⁷⁾				Grenzzustand der Gebrauchstauglichkeit ¹⁸⁾				F _{t,Rk} in kN ²⁰⁾	
	L _R ¹³⁾	T _{1,Rk}	T _{crit,g} ^{13) 14)}	T _{crit,l} ¹⁴⁾	T _{3,Rk,N}	T _{3,Rk,S} ¹⁹⁾	k ₁ '	k ₂ '	Einleitungslänge a	
									≥ 130 mm	≥ 280 mm
t _N	m	kN/m				^{15) 16)}				
mm	m					m/kN	m ² /kN			
0,75	8,00	56,80	18,18	21,48	0,81	3,01	0,340	187,754	0,00	0,00
0,88	8,00	67,20	23,39	32,70	1,23	4,58	0,288	123,321	0,00	0,00
1,00	8,00	76,80	28,57	45,66	1,72	6,39	0,252	88,319	0,00	0,00
1,13	8,00	87,20	34,56	62,72	2,36	8,78	0,222	64,294	0,00	0,00
1,25	8,00	96,80	41,03	81,44	3,07	11,40	0,200	49,519	0,00	0,00
1,50	8,00	116,80	54,39	130,24	4,90	18,23	0,166	30,964	0,00	0,00

Beiwerte:

$k_1^* = 4,67 \text{ 1/kN}$ ¹⁶⁾ $k_2^* = 2,63 \text{ m}^2/\text{kN}$ ¹⁶⁾ $k_3^* = 1,099$ ¹⁷⁾

Fußnoten s. Beiblatt 1/2 bzw. 2/2

Beiblatt 1/2	Erläuterungen zu den Querschnitts- und Bemessungswerten (EN 1993-1-3)	
<p>1) Interaktionsbeziehung für M und V (elastisch-elastisch)</p> $\frac{M_{Ed}}{M_{c,Rk,B}/\gamma_M} \leq 1 \quad \text{wenn} \quad \frac{V_{Ed}}{V_{w,Rk}/\gamma_M} \leq 0,5$ <p>Für $\frac{V_{Ed}}{V_{w,Rk}/\gamma_M} > 0,5$ gilt Gleichung 6.27 (EN 1993-1-3), die im Sinne der Sicherheit vereinfacht werden kann:</p> $\frac{M_{Ed}}{M_{c,Rk,B}/\gamma_M} + \left(2 \cdot \frac{V_{Ed}}{V_{w,Rk}/\gamma_M} - 1\right)^2 \leq 1$	<p>2) Interaktionsbeziehung für M und R (elastisch-elastisch)</p> <p>Lineare Interaktionsbeziehung für M und R:</p> $\frac{M_{Ed}}{M_{c,Rk,B}/\gamma_M} \leq 1 \quad \text{und} \quad \frac{F_{Ed}}{R_{w,Rk,B}/\gamma_M} \leq 1$ $\frac{M_{Ed}}{M_{0,Rk,B}/\gamma_M} + \frac{F_{Ed}}{R_{0,Rk,B}/\gamma_M} \leq 1$ <p>Anmerkung: Für rechnerisch ermittelte Werte gilt: $M_{0,Rk,B} = 1,25 \cdot M_{c,Rk,B}$ und $R_{0,Rk,B} = 1,25 \cdot R_{w,Rk,B}$</p>	
<p>3) Werden quer zur Spannrichtung und rechtwinklig zur Profilebene Linienlasten in das Trapezprofil eingeleitet, so ist der Nachweis der Tragfähigkeit aus der umgekehrten Profillage als Interaktionsnachweis (vgl. Fußnote 2) durchzuführen.</p>		
<p>4) Für kleinere Zwischenauflegerlängen $l_{a,B}$ als angegeben, müssen die aufnehmbaren Tragfähigkeitswerte linear im entsprechenden Verhältnis reduziert werden. Für $l_{a,B} < 10$ mm, z.B. bei Rohren, darf maximal der Wert für $l_{a,B} = 10$ mm eingesetzt werden.</p>	<p>Quadratische Interaktionsbeziehung für M und R:</p> $\frac{M_{Ed}}{M_{c,Rk,B}/\gamma_M} \leq 1 \quad \text{und} \quad \frac{F_{Ed}}{R_{w,Rk,B}/\gamma_M} \leq 1$ $\frac{M_{Ed}}{M_{0,Rk,B}/\gamma_M} + \left(\frac{F_{Ed}}{R_{0,Rk,B}/\gamma_M}\right)^2 \leq 1$	
<p>5) Bei Auflagerlängen, die zwischen den aufgeführten Auflagerlängen liegen, dürfen die aufnehmbaren Tragfähigkeitswerte jeweils linear interpoliert werden.</p>		
<p>6) Der Profilüberstand für die wirksame Auflagerlänge $l_{a,A1}$ ist mit $c \geq 40$ mm einzuhalten. Die Auflagerkräfte $R_{w,Rk,A}$ dürfen verdoppelt werden, wenn für $l_{a,A1}$ der Profilüberstand $c \geq 1,5 \cdot h_w$ ausgeführt wird. Die Auflagerlänge $l_{a,A2}$ entspricht, abweichend von EN 1993-1-3 6.1.7.3(4), der wirksamen Auflagerlänge einschließlich des Profilüberstandes c. Die hier für $l_{a,A2}$ angegebenen Auflagerkräfte $R_{w,Rk,A}$ sind experimentell bestätigte oder von diesen abgeleitete Werte.</p>		
<p>7) <u>Tragfähigkeitsnachweis (plastisch-plastisch) für andrückende Einwirkungen:</u></p> <p>Stützmomente sind auf die sich aus den jeweils angrenzenden Feldlängen ergebenden Reststützmomente $M_{R,Rk}/\gamma_M$ zu begrenzen. Für das damit unter Bemessungslasten entstehende maximale Feldmoment muss gelten:</p> $M_{Ed} \leq M_{c,Rk,F}/\gamma_M$ <p>Außerdem ist für die im Endfeld entstehende Endauflagerkraft folgende Bedingung einzuhalten:</p> $F_{Ed} \leq R_{w,Rk,A}/\gamma_M$ <p>Für den Nachweis der Gebrauchstauglichkeit ist am elastischen System nachzuweisen, dass bei gleichzeitigem Auftreten von Stützmoment und Auflagerkraft an einer Zwischenstütze die 0,9-fache Beanspruchbarkeit nicht überschritten wird (vgl. Fußnote 2). Sind keine Werte für Reststützmomente angegeben, ist beim Tragfähigkeitsnachweis $M_{R,Rk} = 0$ zu setzen.</p>		
<p>8) Wirksame Trägheitsmomente für die Lastrichtung nach unten (+) bzw. oben (-).</p>		
<p>9) Wirksamer Querschnitt für eine konstante Druckspannung $\sigma = f_{y,k}$.</p>		
<p>10) Maximale Stützweiten, bis zu denen das Trapezprofil ohne Last verteilende Maßnahmen begangen werden darf.</p>		
<p>11) Die Werte gelten nur für $\beta_v \leq 0,2$. Für $\beta_v \geq 0,3$ ist der Nachweis mit $l_{a,B} = 10$ mm zu führen.</p> $\beta_v = \frac{ V_{Ed,1} - V_{Ed,2} }{ V_{Ed,1} + V_{Ed,2} }$ <p>Dabei sind $V_{Ed,1}$ und $V_{Ed,2}$ die Beträge der Querkräfte auf jeder Seite der örtlichen Lasteinleitung oder der Auflagerreaktion. Es gilt: $V_{Ed,1} \geq V_{Ed,2}$</p>		
<p>12) Blechdicke: Minustoleranz nach DIN EN 10143:2006, Tabelle 2 „Eingeschränkte Grenzabmaße (S)“</p>		

Schubfelder nach Bryan/Davies

13) Der globale kritische Beulschubfluss ist an die vorhandenen Stützweiten anzupassen:
 $T'_{crit,g} = T_{crit,g} \cdot (L_R/L_{Si})^2$ mit L_{Si} = maximale Einzelstützweite in m. Für Einfeldträger kann $T_{crit,g}$ verdoppelt werden.

14) Der Grenzwert der Beanspruchbarkeit infolge Beulen ergibt sich aus:
 $T_{2,Rk} = 0,7 \cdot \frac{T'_{crit,g} \cdot T_{crit,l}}{T'_{crit,g} + T_{crit,l}}$, wenn $T_{crit,l}$ angegeben ist. Andernfalls ist $T_{2,Rk} = 0,7 \cdot T'_{crit,g}$.

15) Der Grenzwert der Beanspruchbarkeit zur Einhaltung des maximalen Gleitwinkels 1/750 ergibt sich aus:
 $T_{4,Rk} = \frac{1}{750} \cdot \frac{1}{(k'_1 \cdot \alpha_2 + k'_2 \cdot \alpha_1 \cdot \alpha_4 / L_S)} \cdot 10^4$ mit L_S = Gesamtlänge des Schubfeldes in m.

16) Die Schubsteifigkeit S zur Berechnung der Gesamtverformung des Schubfeldes unter dem Schubfluss T ergibt sich zu:

$$S = \frac{10^4}{\left[(k'_1 \cdot \alpha_2 + k'_1 \cdot e_L) + \frac{(k'_2 \cdot \alpha_1 \cdot \alpha_4 + k'_2 \cdot \alpha_3)}{L_S} \right]}$$

mit

e_L = Abstand der Verbindungselemente in den Längsstößen in m.

Bei Sonderausführung der Befestigung kann k_2' halbiert werden (Fußnote 19))

Beiwerte zu 15) und 16):

Anzahl der Felder →	1	2	3	4	5	6	7	8
Anzahl der Auflager →	2	3	4	5	6	7	8	9
α_1	1,00	1,00	0,85	0,70	0,60	0,60	0,60	0,60
α_2	1,00	1,00	0,75	0,67	0,55	0,50	0,44	0,40
α_3	1,00	1,00	0,90	0,80	0,71	0,64	0,58	0,53

$\alpha_4 = 1,00$
 (ohne Querstoß im Schubfeld)
 $\alpha_4 = 1,3 + 0,3 \cdot n'b$
 ($n'b$ = Anzahl der Querstöße im Schubfeld)

17) Im Grenzzustand der Tragfähigkeit ist nachzuweisen:
 $T_{E,d} \leq \frac{T_{1,Rk}}{\gamma_{M1}}$ und $T_{E,d} \leq \frac{T_{2,Rk}}{\gamma_{M1}}$ Die Bemessungswerte der Quer- und Auflagerkräfte sind um $F_{Ed,S} = k'_3 \cdot T_{E,d}$ zu vergrößern.

18) Im Grenzzustand der Gebrauchstauglichkeit ist nachzuweisen:
 $T_{E,d} \leq \frac{T_{3,Rk,N}}{\gamma_{M,ser}}$ oder $T_{E,d} \leq \frac{T_{3,Rk,S}}{\gamma_{M,ser}}$ Der Nachweis von $T_{3,Rk}$ ist nur bei bituminös verklebten Dachaufbauten erforderlich.
 $T_{E,d} \leq \frac{T_{4,Rk}}{\gamma_{M,ser}}$

19) Sonderausführungsarten der Befestigung:

Eine Sonderausführung der Befestigung ist gegeben, wenn jede Rippe mit je einem Befestigungselement unmittelbar neben jedem Steg des Trapezprofils (siehe Bild 1) befestigt wird. Alternativ darf eine runde oder rechteckige Unterlegscheibe (siehe Bild 2), die unter das mittig eingebrachte Befestigungselement anzuordnen ist, verwendet werden. Die Unterlegscheibe muss den Untergurt in seiner gesamten ebenen Breite überdecken.

Für die Scheibendicke gilt:

$$d \geq 2,7 \cdot t_{cor} \cdot \sqrt[3]{\frac{l}{c_u}} \text{ und } d \geq 2,00 \text{ mm}$$

mit

l = Untergurtbreite des Trapezprofils

c_u = Breite der Unterlegscheibe in Trapezprofilängsrichtung oder Durchmesser der Unterlegscheibe

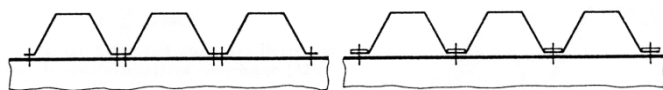


Bild 1

Bild 2

20) Einzellasten $F_{t,Rk}$ in kN je Rippe für die Einleitung in Trapezprofile in Spannrichtung ohne Lasteinleitungsträger.